認知リハビリテーションのための行動認識手法の検討

皆本光† 佐野睦夫†

概要:我々は在宅での認知リハビリテーションを行う方式の確立に取り組んできた.本稿ではそのために必要な行動認識手法について述べる.行動認識はまず未知の時系列骨格データから動作認識を行い,動作認識の結果から行動認識を推定する方式を提案した.動作認識は状態遷移モデルと CNN を用いた方式を提案し、行動認識については HMM と CNN を用いた手法について検討した.未知入力に対する動作認識の全体のエラー率は, CNN を用いた方式が 10%以上低い結果となった.今後は動画から骨格データを推定するモデルと組み合わせて学習データ量の問題を改善し、実際の認知リハビリテーションのデータに対して認識を行っていく予定である.

A Study on Behavior Recognition Method for Cognitive Rehabilitation

HIKARU MINAMOTO[†] MUTSUO SANO[†]

1. はじめに

高次脳機能障害者や認知症患者・認知症予備軍などの認知障がい者は年々増加傾向にあり、リハビリテーションの専門家や介護福祉士の数は患者数に比べて圧倒的に少ない、その為我々は在宅での認知リハビリテーション手法を確立させようと試みてきた。生活行動に対する認知リハビリテーションに必要とされる行動サイクルを図1に示す。

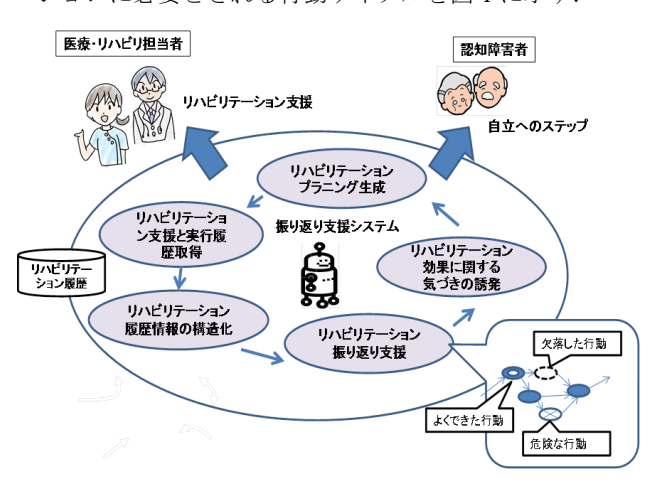


図1振り返り支援システムを介した認知リハビリテーション効果の促進

Fig.1 Rehabilitation effect through review support system

振り返りシステムでは人物の行動を認識し、その行動のタイミングの適切性や内容等について自動で評価を行い、結果を提示することによってユーザに気付きを与えより高い認知リハビリテーションの効果を与えることを目的としている。その一つとして我々が開発を行ってきた生活行動のうち五感を用いて行うことで、より高いリハビリテーショ

ン効果が期待される調理に着目した認知リハビリテーションシステムがある. 調理行動に適応させた振り返り支援システムの流れを図2に示す.



図 2 調理行動に着目した振り返り支援システム Fig.2 Reflection support system focusing on cooking behavior

このような振り返り支援システムを実現する為には現在の 認知機能を正しく評価できる必要がある. そのためにはロ ボットが人物の動作やその動作から構成される行動を精確 に認識できなければならない. 本稿ではこの人物の行動認 識手法について述べる. 複数の動作より構成される行動を 推定するために、まず人物の動作認識を行いその結果を用 いて行動を推定する.動作認識は加速度センサを用いての 研究が多いが、認知障がい者の自立促すとするならばセン サを正しくつけることが負担であるなどの問題があり,今 回のようなシステムでは利用しにくい、そこで RGB-D セ ンサ1つだけを用いて動作認識を行う手法を検討する. そ して行動認識については,本稿で定義する,複数の動作か ら構成されるとしたものを識別する研究は多くなされては いない. そのため行動認識は図1のようなシステムで用い られることを想定した手法を提案する. 本研究の目標は行 動認識が可能となるシステムの構築および可能な限り実用

^{†1} 大阪工業大学 Osaka Institute of Technology University

レベルの認識精度を達成することである. 動作認識では RGB-D センサを用い人物の骨格情報を取得し, 骨格状態遷 移モデル, 畳み込みニューラルネットワーク(Convolutional Neural Network 以下 CNN)を用いた動作認識システムを構築し, システムに適する方式を実験によって決定した. 動作認識システムが決定したのち行動認識システムを隠れマルコフモデル(Hidden Markov Model 以下 HMM) と CNN を用いた方式のシステムを構築し, 実験によって目的に沿った方式を検討した.

2. 従来研究

生活行動のひとつである調理行動認識に関して, 我々は 一人称視点映像を用いて両手をトラッキングし、その移動 ベクトルを学習し認識を行う方法の研究を行ってきた. ま た山肩らの研究では温度センサや調理器具に設置した加速 度センサを用いて各工程を認識している[1]. 今回提案する 手法は、ユーザの骨格情報を取得し行動モデルおよび動作 モデルの仮説を検証することにより、調理行動・動作の認 識を行う. 骨格情報を取得する RGB-D センサを基本的に 最小数1個とする点が大きな相違点となる. また, 我々が 今まで行ってきた一人称視点映像解析による手法である池 ヶ谷[2]らの研究では、調理を行っている手元が前面にある 物体によって見えなくなるオクル―ジョンが発生しにくい ことや,使用器具の特定が可能であり,本提案手法と相補 的な関係にある. 映像からの動作認識は①動きを元に認識 する方法,②物体やシーン認識を使って認識する方法,③ 人間の姿勢(ポーズ)を元に認識する方法、に大別されてい る. 小林らの研究[3]では、テレビ映像から特定動作シーン の自動検出を行ったものがある. 現時点では食べるシーン のみであるが、顔認識、物体認識、動作認識を組み合わせる ことによってシーンの判別を行おうとした. ここで行われ ている動作認識は dense trajectories という時空間特徴量を 学習することで行っている. 食べる動作の正例および負例 を識別する2値分類であるが、90%前後の精度である.研 究全体としては先の①,②の方法を用いて識別を行ってい る. 本研究では特徴量を用いずにセンサデータを動作ごと にそのまま学習し、最尤推定する点で異なる. この方法に より2値分類器を複数構成した場合の再学習の手間が大幅 に軽減できると考えられる. 自身が扱う骨格情報からの認 識に近いもので③のアプローチがある. 映像から姿勢推定 の研究としては DeepPose という Toshev らの研究がある [4]. この研究は DeepNeuralNetworks(DNN) を使った姿勢 推定を行っている. 図3に示すように. 映像より人物の姿 勢を推定できている. 自身の研究との大きな差は DeepPose と異なり3次元の骨格情報を扱い、その動作情報も学習す る点である. これにより2次元の情報では表現できない奥 行きを含めた情報が利用可能となり,動作の表現が幅広く なる.



図 3 Deep pose の例 Fig.3 Deep pose example

3. 提案方式

3.1 行動認識システムの流れ

本研究では図1で表される認知リハビリテーションシステムにおけるリハビリテーション支援の実行履歴取得およびリハビリテーション履歴情報の構造化、リハビリテーション振り返り支援を行うために必要な動作認識と行動認識手法を検討する.現在、認知リハビリテーションで用いられる行動履歴の取得に用いられるセンサは1人称視点映像を取得するためのウェアラブルカメラと加速度センサ、3人称視点映像および骨格情報を取得するためのRGB-Dセンサが用いられている.本研究で用いるデータはRGB-Dセンサによって取得できる骨格データのみを扱う.システムの大まかな流れは図4のように、骨格データを用いて動作認識層にて動作認識を行い、動作認識層より出力される動作情報を元に行動認識層で入力に対して行動を識別する.

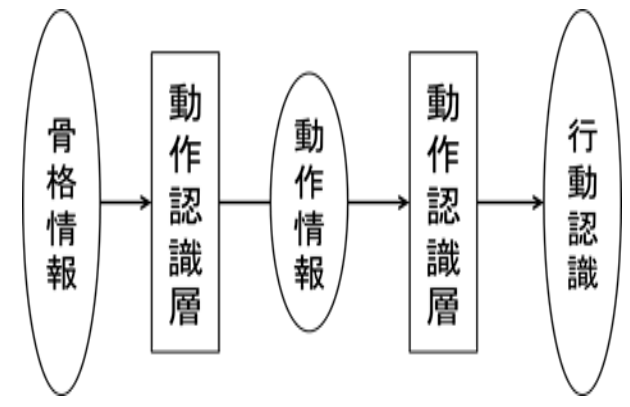


図 4 行動認識システムの流れ Fig.4 Flow of Behavior Recognition System

3.2 提案システムで扱う骨格データ

提案システムでは、モーションキャプチャなどで取得できる各骨格点の3次元座標で表されている骨格データを扱う、骨格データの例を図5に示す、



図 5 OpenNi で取得できる各骨格点 Fig.5 skeleton points that can be acquired

図5で骨格点の数は16点であるが、学習および識別において同じセンサデータあれば骨格点はいくつでも構わない.

3.3 動作認識層

この節では骨格情報を元に動作認識する手法として,状態 遷移に基づく手法と CNN を用いた手法の 2 種類の手法を 提案する.以下の節でその 2 つの手法について述べる.

(1) 状態遷移モデルに基づく動作認識手法

人物の動作は骨格の動きの流れで表現することが可能だと 考えられる. 例えばピーラーで皮を剥くといった動作では, 右手と左手が非常に近い骨格の状態①から一定の方向へ移 動させ離れさせた骨格の状態②の繰り返しで表現できる. この2つの状態をあらかじめ定義しておけば、リアルタイ ムで取得した骨格状態の遷移が①→②→①→②の経路をた どったときにピーラーで皮を剥く動作を行ったと判定する ことができる. その他の多く動作についても骨格情報を用 いて認識に必要な骨格状態を定義し、その骨格状態の遷移 経路によって表現することが可能である. この表現を実現 する為に各状態に遷移した際に記号を出力させる. そして 遷移ごとに生成された記号列を終端から始点に向けて解析 し、それがその行動特定の記号列であった場合、動作情報 を出力する. このモデルでは同じ記号を連続で出力するこ とはない. つまり違う骨格状態に遷移した場合のみ記号を 出力するような制限をかけている. この制限がない場合, ②や \mathbb{O} → \mathbb{O} → \mathbb{O} → \mathbb{O} → \mathbb{O} , その他にも非常に多くの経路を 定義しなければならなくなる. 以下の図6に例として皮む き認識を行うための記号列を出力するモデルを示す. この 図6表される手振りモデルに新たな行動を定義したい場合 は、定義したい行動に必要な骨格状態をこのモデルにフル メッシュで接続するだけで可能である.

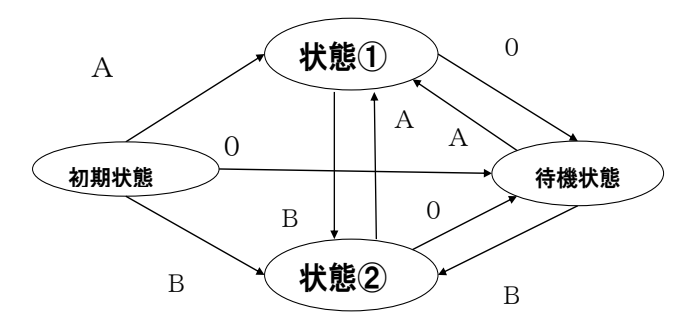


図 6 皮むき動作認識モデル例 Fig.6 Example of Peeling Motion Recognition Model

このモデルを使うことによって動作を人がイメージしやすい形で1つ1つ定義でき、必要なものだけを組み合わせることもできる自由度の高い動作定義になることが期待できる.

(2) CNN を用いた動作認識手法

時系列骨格情報を先に述べた CNN に入力し動作認識結果を出力するよう学習する. 学習方法はあらかじめ用意した動作の骨格時系列データを入力し, その出力結果がそれぞれの出力動作カテゴリユニットが最も発火するように教師あり学習を行う. 入力に際して骨格情報を CNN へ入力できる形に変更しなければならない. 用いる骨格情報は 1フレームで 15 点 XYZ 座標値が取得できるとすると. データをある骨格点を基準としそれぞれの点を基準点からの相対座標に変換し, 基準の点を除いた 14×3 のデータを 1フレームのデータとする. この処理は骨格データがセンサの位置によって変化しない(人物の位置情報を持っていない)のであれば必要ない. このデータを 任意のフレーム数(n)分並べ、42×n のグレースケール画像とすることによって CNN への入力を行う. この動作認識手法のイメージを図7に示す.

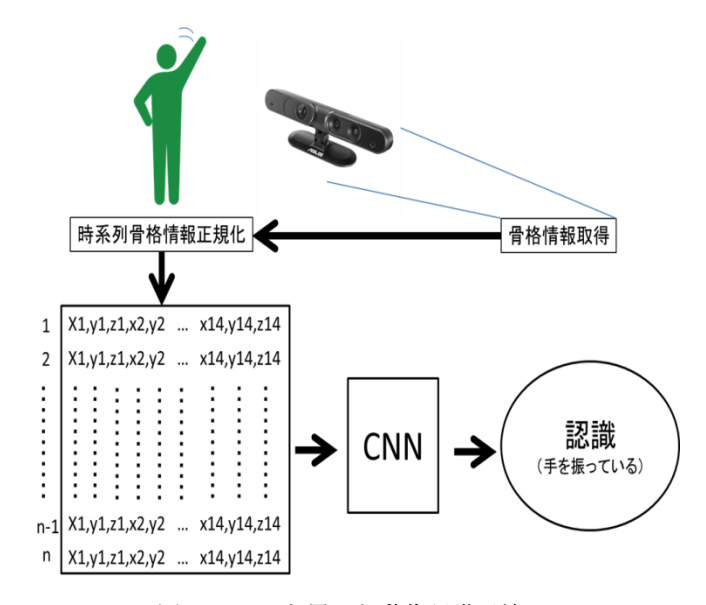


図7 CNN を用いた動作認識手法 Fig.7 Behavior recognition method using CNN

認識の際は未知の時系列骨格データに対し動作カテゴリユニットが最も発火したものを識別された動作とする.この手法の最大の利点は学習データを用意するだけで研究者の経験や知識に基づく特徴量設計や統計的解析を介さず識別を行える可能性があることである.仮に状態遷移モデルに基づく手法と同程度の識別精度であっても,この利点が実用時に大きく影響すると考えられる.

3.4 行動認識層

この節では先の動作認識層で骨格情報から動作情報が出力されるので、この情報を元に行動認識を行う.この行動認識層は HMM を用いた手法と、動作認識層の構築でも利用した CNN を用いた手法の 2 種類で構築を行った.以下にそれぞれの手法について詳しく述べる.

(3) HMM を用いた行動認識手法

動作認識層より出力される動作系列をそれぞれの行動 HMM にバウム・ウェルチアルゴリズムによってパラメー タ推定させ、未知の動作系列に対し全ての動作 HMM にビタビアルゴリズムによって観測系列を出力する最大確率を求める. ここで最も出力確率が高かった行動 HMM を未知の動作列に対しての行動とする.

3.5 CNN を用いた行動認識手法

動作認識層より出力される動作情報を動作認識層と同様に CNNに入力し行動認識結果を出力するよう学習する. ただ し最終的な行動の意味付けは動作認識とは異なり、未知の 動作列に対し入力開始から終了まで入力を終了時間方向へ スライドさせながら複数回の行動認識層への入力を行う. データの終端まで入力が終了した際に出てきた観測列にお いて最も発火した回数が最大のユニットを入力に対しての 行動とする. この行動認識手法の概略を図 8 に示す.

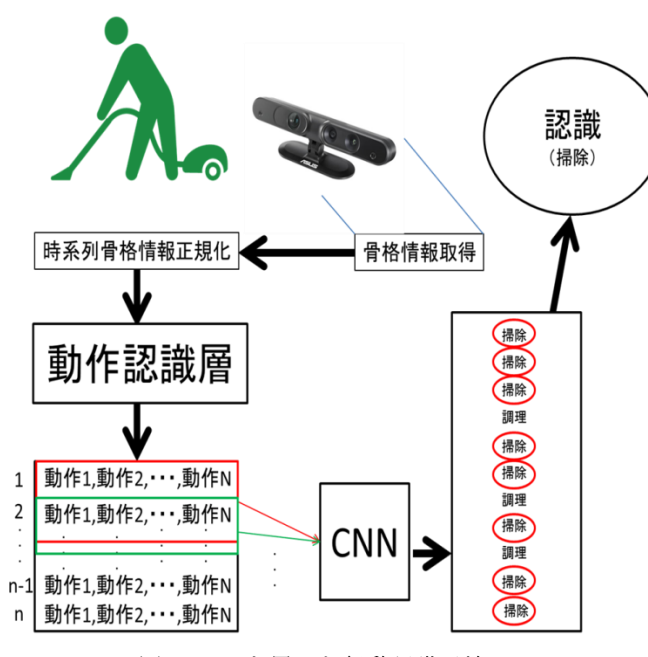


図 8 CNN を用いた行動認識手法 Fig.8 Behavior recognition method using CNN

4. 動作認識層の構築・実験

ここでは実際の認知リハビリテーションシステムを想定し、 提案手法によって構築した動作認識層の詳しい仕様とその 精度の検証実験方法について述べる.

4.1 対象となる認知リハビリテーションシステム

実際に利用された認知リハビリテーションシステムで調理リハビリテーションシステムがある。図2のサイクルで認知リハビリテーションが行われる。そのなかでリハビリ目的と調理ナビゲーションシステムのレシピの決定がされ、そのレシピでの大きな項目が今回認識すべき行動の抽象化レベルとなる。例として図9に肉じゃがのレシピの調理ナビゲーションシステムを示す。



図9 肉じゃがの調理ナビゲーションシステム

Fig 9 Nikujyaga cooking navigation system

今回の行動認識では、この調理行動における下ごしらえおよび加熱調理を識別できることを検討し、動作認識はそれぞれの行動を構成する動作を識別できることを検討する. また現在我々は掃除・片づけで認知リハビリテーション方式の確立に取り組んでいる. 現時点で具体的な認識すべき行動の抽象化レベルは判明していないが、調理と同様に、掃除を構成する動作および掃除行動を認識出来るかを確認する

4.2 使用した RGB-D センサおよび骨格データ

本研究で使用した RGB-D センサは図 10 で示す ASUS の XTION PRO LIVE である. このセンサのスペックは表 1 に示す.



図 10 XTION PRO LIVE の外観 Fig.10 Appearance of XTION PRO LIVE

表 1 XTION PRO LIVE のスペック Table.1 XTION PRO LIVE spec

センサ有効範囲	水平 58°、垂直 45°、対角 70°(0.8~3.5m)			
センサ解像度	640×480 ドット(VGA):30fps / 320×240 ドット			
ピンリ肝豚及	(QVGA):60fps			
深度センサの有効	0.5~10m			
距離 0.3~10m				

このセンサと OpenNi というライブラリを利用することで、センサからの相対的位置となる 3 次元骨格情報を取得することが可能となる.

4.3 動作認識カテゴリ・学習データ決定

先の 4.1 節で最終的に識別すべき行動を決定した. これ らを認識するために、動作認識のカテゴリは「切る」、「混 ぜる」、「机を拭く」、「掃除機をかける」、「取る」、「しゃが む」、「移動」、「手を振る」の 8 つとした. このカテゴリ数 に決定したのは実際に状態遷移モデルに基づいて動作認識 層を構築していた際,動作認識カテゴリを増やすと骨格状 態の組み合わせが爆発的に増え,動作定義が困難となった 為である. その為, 今回は現実的な範囲で定義できるよう に、それぞれの動作について骨格状態を定義した. CNN を 用いた手法ではそれぞれの動作について学習データを用意 した. データについては、まずセンサに向かって正面から の動作についてのみ扱い, さらに骨格情報が実際の人物映 像より大きく外れたものは扱っていない. また物を取る, しゃがむはデータ取得開始から 1 回だけ行ったものを 1 データとし、それ以外はデータ取得開始から終了まで(5秒 間)動作を行い続けたものを1 データとした. 1 データあ たり 150 フレームあり, 時間窓は42 フレームとし, 15 フ レームずつスライドさせデータを入力するよう設定した. そのため1 データあたり7回ずつ学習を行った. 用意した カテゴリごとのデータは 10 個である. その際 CNN のパ ラメータは以下の通りである.

·入力 42×42×1の骨格情報

- ・畳み込み層とプーリング層は3層ずつ交互に重ねた
- ・ 畳み込み層の出力にバッチ正規化をかけて学習効果を 高めた
- ・第1層目の畳みこみ層のフィルタサイズは 18×18 第2,3のフィルタサイズは 6×6
- ・それぞれ畳み込み層の出力は256枚のフィルタ
- ・プーリングの方法は最大値プーリングでプーリング領域のサイズは 2
- ・活性化関数は tanh、ネットワークの最適化手法は確率的 勾配効果法(SGD)
- ・出力に至る全結合層は 2 層で 10%のパーセプトロンの 出力をドロップアウト (無効) にした
- ·ネットワークの出力は識別カテゴリ数である 8 ユニット

4.4 動作認識層の性能実験

以上のように作成した 2 種類の動作認識層の性能実験を行う. CNN の学習に用いた教師データ以外の骨格の時系列データを用意し、学習した CNN と状態遷移モデルによる動作認識層に入力して認識精度の比較を行う. 学習データ同様, 1 データあたり 7 回動作認識を行った. 用意したカテゴリごとのデータは 10 個である.

4.5 動作認識層の実験結果

実験の結果は以下の表 2,表 3,図 11 のとおりである.表 2 は状態遷移モデルに基づく手法の認識結果.表 3 は CNN を用いた認識手法の結果である.図 11 は対比させた結果を示す.

表 2 状態遷移モデルに基づく手法の結果 Table.2 Results of method based on state transition model

	失敗数(回)	試行数(回)	エラー率
手を振る	6	70	8.6%
拭く	23	70	32.9%
掃除機をかける	58	70	82.9%
切る	8	70	11.4%
取る	65	70	92.9%
混ぜる	7	70	10.0%
しゃがむ	4	70	5.7%
歩く	14	70	20.0%
計	185	560	33.0%

表 3 CNN を用いた手法の結果 Table.3 Results of method based on CNN

2	失敗数(回)	試行数(回)	エラー率
手を振る	0	70	0.0%
拭く	3	70	4.3%
掃除機をかける	2	70	2.9%
切る	0	70	0.0%
取る	27	70	38.6%
混ぜる	4	70	5.7%
しゃがむ	52	70	74.3%
しゃがむ 歩く 計	6	70	8.6%
計	94	560	16.8%

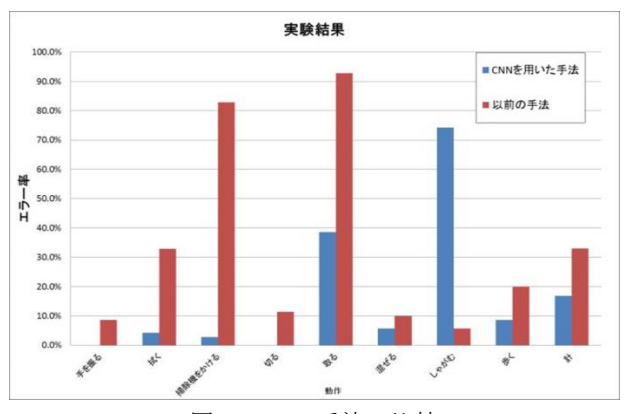


図112つの手法の比較

Fig.11 Comparison of the two methods

5. 行動認識層の構築・実験

ここでは先の動作認識層の性能実験の結果より,適する動作認識層を決定し,提案手法によって構築した行動認識層の詳しい仕様とその精度の検証実験方法について述べる.

5.1 動作認識層の決定

4.5 の結果より全体的に CNN を用いた手法がより良かったため以下の行動認識層で用いるデータは, CNN を用いた手法の動作認識層より得られる動作データを用いる.また動作認識層にてエラー率が高かった取る,しゃがむ動作に関しては行動認識層の検証に大きく影響すると考えられ、学習データを正しく用意することも難しいと考えられた為,これらに代わり皮をむく,炒める,混ぜる動作を学習に加えて,さらに各データを12 データ(約 1900 フレーム分)にし、学習時の窓の移動を1フレームずつに設定し、データを疑似的に増やした.また時間窓の設定は長期の時間的関係性を畳み込んでくれることを期待して90 フレームとした.その他出力ユニット数以外のパラメータは動作認識層と同様である.最終的に完成した動作認識層に対し、学習と同様にして、各動作1800 データについての適合率、再現率、F値を検証した結果を以下の表4および図12に示す.

表 4 決定した動作認識層の検証結果 Table.4 Verification result of motion recognition layer

動作	テ スト(回)	認識成功(回)	認識失敗(回)	誤認識(回)	適合率	再現率	植
	1800	1786	14	38	97.92%	99.22%	98.57%
剥<	1800	1800	0	58	96.88%	100.00%	98.41%
炒める	1800	1460	340	4	99.73%	81.11%	89.46%
混ぜる	1800	1743	57	311	84.86%	96.83%	90.45%
窓ふき	1800	1645	155	52	96.94%	91,39%	94.08%
机ふき	1800	1710	90	134	92.73%	95.00%	93.85%
モップ・掃除機がけ	1800	1721	79	59	96.69%	95.61%	96.15%
移動	1800	1732	68	140	92.52h	96.22%	94.34%
手振り	1800	1800	0	1	99.61%	100.00%	99.81%
il il	16200	15397	803	803	95.04%	95.04%	95.04%

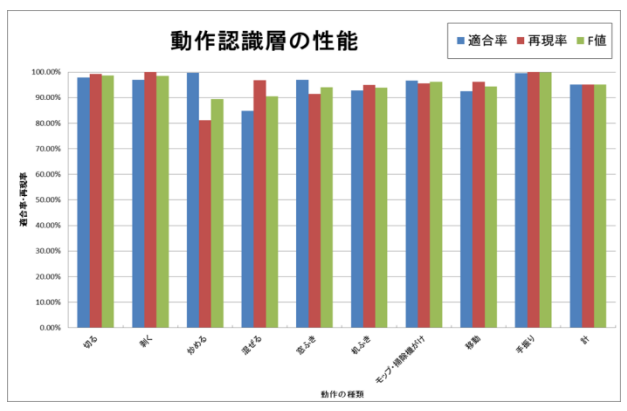


図12決定した動作認識層の検証結果グラフ

Fig.12 Verification result graph of action recognition layer

全体の性能を表す F 値が 95%程度である為, 以降の行動認識ではこの動作認識層の出力を用いる. この動作認識層の未知データに対する出力は一秒ごとに設定した. 先の学習で表すならば, これは時間窓を 30 フレームごとにスライドさせるよう設定したことと同じである.

5.2 行動認識層の学習データ

先の動作認識層は,一回当たりの入力で各ユニットがどれ だけ発火したかを表す出力が得られる. CNN を用いた行動 認識手法ではこれを任意の数並べて入力すれば良い. 今回 は9つの出力(9秒分)を並べて入力した. HMM を用いた 行動認識手法では,動作認識層の出力ユニットそれぞれに 記号を割り当て,一回の入力に対し最も発火したユニット の記号をひとつ出力し、未知の時系列骨格データに対して 記号列を出力するようにした. この記号列を用いて行動 HMM をバウム・ウェルチアルゴリズムによってパラメー タ推定し、ビタビアルゴリズムによってどの行動 HMM の 出力確率が高いかを求め行動を決定する. 学習データはど ちらの手法も共通であり、今回識別する下ごしらえ、温調 理,掃除の3つの行動を約1分間とったデータを動作認識 層に入力し得られたものを用いる. 学習データは行動ごと に 10 個ずつ用意した. CNN のパラメータは入力と出力ユ ニット以外は動作認識層と同様であり, 学習時の時間窓は 1 ずつスライドさせた. またもう一方の手法である HMM は、パラメータ推定の際モデルの状態数を指定しなければ ならないが、これは出力記号の種類数と同じ9とした.

5.3 行動認識層の性能実験

以上のように作成した2種類の行動認識層の性能実験を行う. 学習に用いたデータ以外の各行動データを用意し、 それぞれの行動認識層に対して入力し、データを正しく識別できるか検証する. 各行動10個のデータに対し、それぞれの手法の適合率、再現率、F値求め比較する.

5.4 行動認識層の性能実験結果

実験の結果は以下の表 5, 表 6 の通りである. 表 5 は CNN を用いた認識手法,表 6 は HMM を用いた認識手法の結果である.

表 5 CNN を用いた行動認識手法の結果

Table.5 Results of behavior recognition method using CNN

行動	テスト(回)	認識成功(回)	認識失敗(回	誤認識(回)	適合率	再現率	F値
下ごしらえ	10	10	0	0	100%	100%	100%
温調理	10	10	0	0	100%	100%	100%
掃除	10	10	0	0	100%	100%	100%
計	30	30	0	0	100%	100%	100%

表 6 HMM を用いた行動認識手法の結果 Table.6 Results of behavior recognition method using HMM

行動	テスト(回)	認識成功(回)	忍識失敗(回	誤認識(回)	適合率	再現率	F値
下ごしらえ	10	10	0	0	100%	100%	100%
温調理	10	10	0	0	100%	100%	100%
掃除	10	10	0	0	100%	100%	100%
計	30	30	0	0	100%	100%	100%

6. 考察

ここでは動作認識層および行動認識層の性能実験の結果に ついて考察する.

6.1 動作認識層の考察

図 4.3 より、しゃがむ動作を除き今回提案した CNN を用 いた手法がより、エラー率が低いという結果となった. ま た CNN を用いた手法では動作の定義を人の手で行わな くてよい為、認識動作カテゴリを増やした際の動作定義の 難しさという問題は無いと考えられる. 以上より動作認識 層は CNN を用いた手法がより良いと考えられた. CNN を 用いた動作認識手法の中で特にエラー率の高かった,取る, しゃがむ動作であるが、これらは学習データ、テストデー タともに5秒間の間に1度しか行動を行っておらず、検証 では何もしていない時間でもしゃがむや取る動作が認識失 敗とされるためであったと思われる. この問題については これらのデータに対して骨格の時系列データのうちどの時 点がしゃがむ動作であるとしっかり教師データに定義する, あるいは学習データを短くし、学習データも増やすといっ た方法で改善できると考えられる. また学習データを疑似 的に増やし、カテゴリ数も増やして作成した図 12 の動作認 識層の実験結果であるが、全の F値が 90%近くを超えてお り高い性能が達成できていると考えられる. しかしながら 学習に平常状態やこれらの動作以外を判定するようなカテ ゴリを学習していないため, この結果は実用した際の性能 とは乖離していることが予測される. 今後その他の動作を 学習するためには大量のデータを用意する必要があると考 えられ、現時点でも学習するために大量の時系列骨格デー タに対して動作の教師タグ付けを行うのは大変な労力が必 要であると考えられる. 今回は奥行き情報がなくなるとし て利用しなかった DeepPose であるが,今後はこれを 3 次元 座標で取得できるように拡張することが出来れば, 動画か

らの学習が可能となるためこの問題は改善されると考えられた.

6.2 行動認識層の考察

表 5 および表 6 より, どちらの手法も全 30 データに対し正しく識別することが出来た. しかしながらこれも動作認識層と同様に実用を想定した際には問題が生じる. そのためこの結果からは未知入力が少なくとも下ごしらえ, 温調理, 掃除の3つのどれかに絞られている場合に実用可能であるとしか言えず, 実用レベルの認識精度という目標を達成したとは言えない. また2つの手法について結果に差異がないため, どちらが行動認識に優れているかは導けなかった. 以上より今回作成した行動認識システムは動作認識を CNN で行い行動認識を HMM あるいは CNN を用いて行うことで. 未知データが学習カテゴリである場合において高い精度で識別できるものだと言える.

以上より掃除と調理といった大別されるような行動を識別する際は、同様のシステムおよび学習方法で識別できることが予想される。また動作認識に関して、炒めるや窓ふきといった継続的な動作は、時系列骨格情報に対し CNN を用いることで高い精度で認識できることが期待される。

7. おわりに

本研究では、認知リハビリテーションシステムにおける、認知能力を評価するために必要な人物の行動認識手法について検討を行った. RGB-D センサを用いて取得できる人物の骨格情報を学習 CNN で学習することで動作認識および行動認識を行う方法を提案した. また行動認識に関しても CNN あるいは HMM を用いて学習する手法を提案した. 現時点では未知データが学習データのいずれかのカテゴリに属する仮定のもとで高い性能が得られるという結果となり. 行動認識システム全体としては動作認識に CNN を用い、行動認識に HMM あるいは CNN を用いる構造が良いと考えられた. また動作認識に関しては継続な動作について、時系列骨格情報に対し CNN を用いて学習することで高い認識精度が得られると考えられる. 動画から骨格データを推定するモデルと組み合わせて学習データ量の問題を改善しシステム全体の改善を図ってく予定である.

謝辞 本研究の一部は文部科学省研究費補助金(基盤 C15K00368)の支援を受けた.

参考文献

- [1] 山肩洋子,角所考,美濃導彦:食材および調理操作の流れからなる調理行動認識に基づく動的なレシピ認識手法の提案;京都大学情報学研究科 京都大学学術情報メディアセンタ
- [2] 池ヶ谷剛,大井翔,佐野睦夫:認知リハビリテーションのための一人称視点による調理動作認識;PRMU IPSJ-CVIM IBISML 研究発表会(2016)
- [3] 小林隼人,柳井啓司:テレビ映像からの特定動作シーンの自動検出; DEIM Forum 2016
- [4] A. Toshev and C. Szegedy. DeepPose: Human pose estimation via deep neural networks. In Proc. of IEEE Computer Vision and Pattern Recognition, pp. 1653–1660, 2014.